

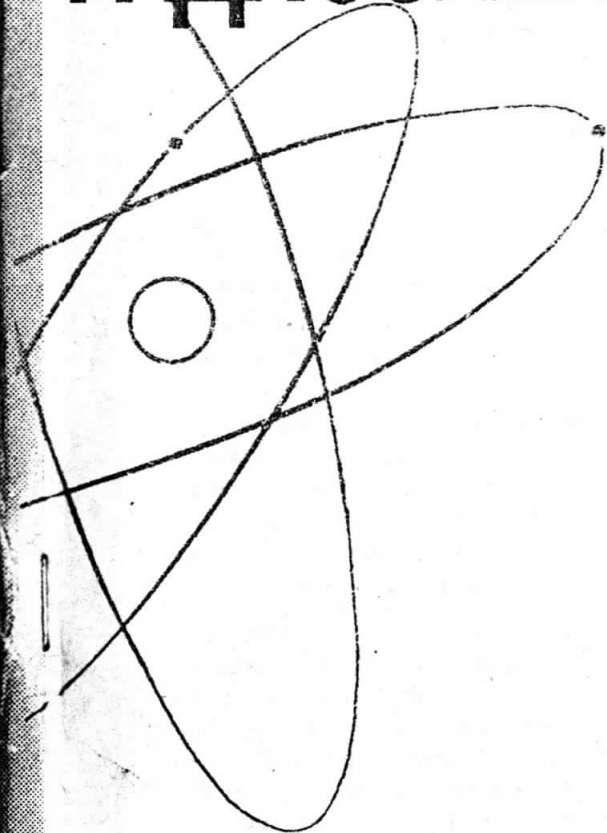
69
р- 62641
3021401 9-10

ИТУУ "КПІ"
ІСО
1898-1998

ISSN 0021-3470

ИЗВЕСТИЯ
ВЫСШИХ УЧЕБНЫХ
ЗАВЕДЕНИЙ

РАДИОЭЛЕКТРОНИКА



том 40

9-10

ИЗДАНИЕ
НАЦИОНАЛЬНОГО
ТЕХНИЧЕСКОГО
УНИВЕРСИТЕТА
УКРАИНЫ
«КИЕВСКИЙ
ПОЛИТЕХНИЧЕСКИЙ
ИНСТИТУТ»

1997

ТРИФОНОВ А. П., БЕСПАЛОВА М. Б.

ОЦЕНКА ПЕРИОДА СЛЕДОВАНИЯ СЛАБЫХ СЛУЧАЙНЫХ ИМПУЛЬСОВ

Выполнен синтез и анализ алгоритма оценки максимального правдоподобия периода следования. Найдены потери в точности оценки вследствие наличия неинформативных параметров.

Случайные импульсы и их последовательности часто используются в качестве математических моделей реальных сигналов. Такими моделями могут быть описаны отраженные сигналы в локации (особенно в гидролокации) и в системах, использующих сверхширокополосные сигналы, сигналы в спектроскопии и радиоастрономии [1], сигналы, искаженные модулирующей помехой [2]. Кроме того, последовательности случайных сигналов могут быть использованы в качестве переносчика информации (несущей), особенно в оптических линиях связи [3] и в гидроакустике [4].

Представим последовательность случайных импульсов в виде

$$s(t, \theta, l, \lambda) = \sum_{k=0}^{N-1} f(t - k\theta, l) \zeta(t - k\theta). \quad (1)$$

Здесь θ — период следования случайных импульсов, $f(t, l)$ — модулирующая детерминированная функция, которая в общем случае содержит p неизвестных параметров $l = \|l_1 \dots l_p\|$, $\zeta(t)$ — стационарный гауссовский центрированный случайный процесс, известная корреляционная функция которого $K(\Delta, \lambda) = \langle \zeta(t) \zeta(t + \Delta) \rangle$ может содержать m неизвестных параметров $\lambda = \|\lambda_1 \dots \lambda_m\|$. Полагаем далее, что отдельные импульсы не перекрываются и модулирующая функция в (1) нормирована так, что $\max f(t, l) = 1$. Пусть последовательность случайных импульсов принимается на фоне гауссова белого шума $n(t)$ с односторонней спектральной плотностью N_0 . Тогда реализация наблюдаемых на интервале $[0, T]$ данных записывается как $x(t) = s(t, \theta_0, l_0, \lambda_0) + n(t)$, где θ_0, l_0, λ_0 — истинные значения неизвестных периода и параметров модулирующей функции и спектра мощности $G(\omega, \lambda_0)$ процесса $\zeta(t)$ соответственно. Рассмотрим оценку периода следования θ импульсов (1), полагая, что в оценке параметров l и λ нет необходимости, т. е. они являются неинформативными (несущественными) [5].

Для оценки периода следования случайных импульсов (1) воспользуемся методом максимального правдоподобия [1, 5]. Согласно алгоритму максимального правдоподобия для получения оценки необходимо

формировать логарифм функционала отношения правдоподобия (ФОП). В соответствии с [1] логарифм ФОП имеет вид

$$L(\theta, l, \lambda) = \frac{1}{N_0} \int_0^T \int_0^T x(t_1) x(t_2) Q(t_1, t_2, \theta, l, \lambda) dt_1 dt_2 - \frac{1}{2} \int_0^1 d\chi \int_0^T \tilde{Q}(t, t, \theta, l, \lambda, \chi) dt. \quad (2)$$

Здесь

$$Q(t_1, t_2, \theta, l, \lambda) = \tilde{Q}(t_1, t_2, \theta, l, \lambda, \chi = 1),$$

а функция $\tilde{Q}(t_1, t_2, \theta, l, \lambda, \chi)$ удовлетворяет интегральному уравнению

$$\frac{N_0}{2} \tilde{Q}(t_1, t_2, \theta, l, \lambda, \chi) + \chi \int_0^T \tilde{Q}(t_1, t, \theta, l, \lambda, \chi) \times K_s(t, t_2, \theta, l, \lambda) dt = K_s(t_1, t_2, \theta, l, \lambda), \quad (3)$$

где

$$K_s(t_1, t_2, \theta, l, \lambda) = \sum_{k=0}^{N-1} \sum_{n=0}^{N-1} f(t_1 - k\theta, l) \times f(t_2 - n\theta, l) K[t_2 - t_1 + (k-n)\theta, l]$$

— корреляционная функция последовательности случайных импульсов (1).

Часто реальные условия наблюдения таковы, что каждый импульс последовательности (1) является слабым и выполняется условие [1]

$$q = 2 \sup_{\omega} G(\omega, \lambda_0) / N_0 \ll 1. \quad (4)$$

Кроме того, время корреляции случайного процесса $\zeta(t)$ обычно существенно меньше периода следования импульсов, так что

$$\Omega_0 \theta_0 / 2\pi \gg 1, \quad (5)$$

где $\Omega_0 = \int_{-\infty}^{\infty} G^2(\omega, \lambda_0) d\omega \left[\sup_{\omega} G(\omega, \lambda_0) \right]^{-2}$ — эквивалентная полоса частот процесса $\zeta(t)$. При выполнении (5) отдельные импульсы последовательности (1) некоррелированы и корреляционная функция всей последовательности перепишется как

$$K_s(t_1, t_2, \theta, l, \lambda) = K(t_2 - t_1, \lambda) \times$$

$$\times \sum_{k=0}^{N-1} f(t_1 - k\theta, l) f(t_2 - k\theta, l). \quad (6)$$

Условие (4) позволяет найти приближенное решение интегрального уравнения (3) методом итераций [1]. При учете первых двух итераций логарифм ФОП (2), следуя [1] и учитывая (6), получаем в виде

$$L(\theta, l, \lambda) = \frac{2}{N_0^2} \sum_{k=0}^{N-1} \int_0^T \int_0^T x(t_1) x(t_2) f(t_1 - k\theta, l) f(t_2 - k\theta, l) \times \\ \times K(t_2 - t_1, \lambda) dt_1 dt_2 - \frac{N}{N_0} [K(0, \lambda) \times \\ \times \int_{-\infty}^{\infty} f^2(t, l) dt + \frac{1}{N_0} \int_{-\infty}^{\infty} \int_{-\infty}^{\infty} f^2(t_1, l) f^2(t_2, l) \times \\ \times K^2(t_2 - t_1, \lambda) dt_1 dt_2]. \quad (7)$$

Согласно [5] оценка максимального правдоподобия (ОМП) периода следования импульсов (1) определяется выражением

$$\hat{\theta} = \arg \sup_{\theta, l, \lambda} L(\theta), \quad (8)$$

где $L(\theta) = \sup_{l, \lambda} L(\theta, l, \lambda)$. Как показано в [5], ОМП (8) в условиях высокой

апостериорной точности можно найти из решения системы $p + m + 1$ уравнения правдоподобия

$$\left[\frac{\partial L(\theta, l, \lambda)}{\partial \theta} \right]_{\hat{\theta}, \hat{l}, \hat{\lambda}} = 0, \quad \left[\frac{\partial L(\theta, l, \lambda)}{\partial l_i} \right]_{\hat{\theta}, \hat{l}, \hat{\lambda}} = 0, \\ \left[\frac{\partial L(\theta, l, \lambda)}{\partial \lambda_\nu} \right]_{\hat{\theta}, \hat{l}, \hat{\lambda}} = 0, \quad (9)$$

где $i = \overline{1, p}$, $\nu = \overline{1, m}$. Здесь $(\hat{\theta}, \hat{l}, \hat{\lambda}) = \arg \sup L(\theta, l, \lambda)$ — совместные ОМП всех неизвестных параметров последовательности (1).

Для решения системы уравнений правдоподобия (9) представим логарифм ФОП (7) в виде суммы сигнальной и шумовой функций [5]

$$L(\theta, l, \lambda) = S(\theta, l, \lambda) + N(\theta, l, \lambda).$$

Здесь $S(\theta, l, \lambda) = \langle L(\theta, l, \lambda) \rangle$, $N(\theta, l, \lambda) = L(\theta, l, \lambda) - \langle L(\theta, l, \lambda) \rangle$, а усреднение выполняется по реализациям белого шума $n(t)$ и процесса $\xi(t)$ при фиксированных истинных значениях неизвестных параметров θ_0, l_0 и λ_0 .

Учитывая условия (4) и (5), получаем выражения для сигнальной функции и корреляционной функции шумовой функции

$$S(\theta, l, \lambda) = \frac{2}{N_0^2} \sum_{k=0}^{N-1} \int_{-\infty}^{\infty} f(t_1 - k\theta, l) f(t_1 - k\theta_0, l_0) \times \\ \times f(t_2 - k\theta, l) f(t_2 - k\theta_0, l_0) K(t_2 - t_1, \lambda) \times \\ \times K(t_2 - t_1, \lambda_0) dt_1 dt_2 - \frac{N}{N_0^2} \int_{-\infty}^{\infty} f^2(t_1, l) \times \\ \times f^2(t_2, l) K^2(t_2 - t_1, \lambda) dt_1 dt_2, \quad (10)$$

$$B(\theta_1, \theta_2, l_1, l_2, \lambda_1, \lambda_2) = \langle N(\theta_1, l_1, \lambda_1) N(\theta_2, l_2, \lambda_2) \rangle = \\ = \frac{2}{N_0^2} \sum_{k=0}^{N-1} \int_{-\infty}^{\infty} f(t_1 - k\theta_1, l_1) f(t_2 - k\theta_1, l_1) f(t_1 - k\theta_2, l_2) \times \\ \times f(t_2 - k\theta_2, l_2) K(t_2 - t_1, \lambda_1) K(t_2 - t_1, \lambda_2) dt_1 dt_2. \quad (11)$$

При выводе этих формул предполагалось, что $| \theta - \theta_0 | < \min(\theta, \theta_0) / N$ и $| \theta_1 - \theta_2 | < \min(\theta_1, \theta_2) / N$, так что формулы (10), (11) описывают главные максимумы соответствующих функций [5].

Определим выходное отношение сигнал—шум [5] как

$$z^2 = S^2(\theta_0, l_0, \lambda_0) / B(\theta_0, \theta_0, l_0, l_0, \lambda_0, \lambda_0) = \\ = N \int_{-\infty}^{\infty} f^2(t_1, l_0) f^2(t_2, l_0) K^2(t_2 - t_1, \lambda_0) dt_1 dt_2 / 4N_0^2. \quad (12)$$

В дальнейшем будем полагать, что выходное отношение сигнал—шум велико, т. е. $z \gg 1$ и совместные ОМП всех неизвестных параметров последовательности (1) обладают высокой апостериорной точностью. Решение системы уравнений правдоподобия (9) будем искать методом малого параметра [5], в качестве которого используем величину $\varepsilon = 1/z \ll 1$. Ограничивааясь первым приближением, получаем, что совместные ОМП несмещенные и асимптотически совместно-эффективные (при $q \rightarrow 0$ и $z \rightarrow \infty$). Следовательно, корреляционную матрицу К совместных ОМП всех неизвестных параметров последовательности (1) можно представить в виде

$$K = \begin{vmatrix} N_2 & A & N_1 & B \\ N_1 & B^+ & N & D \end{vmatrix}^{-1}. \quad (13)$$

Здесь (+) — оператор транспонирования,

$$\begin{aligned}
N_2 &= \sum_{k=0}^{N-1} k^2 = N(N-1)(2N-1)/6, \\
N_1 &= \sum_{k=0}^{N-1} k = N(N-1)/2, \\
A &= \frac{1}{N_2} \left[\frac{\partial^2 B(\theta_1, \theta_2, l_0, l_0, \lambda_0, \lambda_0)}{\partial \theta_1 \partial \theta_2} \right]_{\theta_0} = \\
&= \frac{4}{N_0^2} \int \int_{-\infty}^{\infty} \left\{ f^2(t_1, l_0) \left[\frac{\partial f(t_2, l_0)}{\partial t_2} \right]^2 + f(t_1, l_0) f(t_2, l_0) \times \right. \\
&\quad \left. \times \frac{\partial f(t_1, l_0)}{\partial t_1} \frac{\partial f(t_2, l_0)}{\partial t_2} \right\} K^2(t_2 - t_1, \lambda_0) d t_1 d t_2, \tag{14}
\end{aligned}$$

$$B = || B_l B_\lambda ||,$$

$$B_l = - || B_{li} ||, i = \overline{1, p}, B_\lambda = - || B_{\lambda \nu} || \nu = \overline{1, m}$$

— векторы-строки с элементами

$$\begin{aligned}
B_{li} &= - \frac{1}{N_1} \left[\frac{\partial^2 B(\theta_1, \theta_2, l_1, l_2, \lambda_0, \lambda_0)}{\partial \theta_1 \partial l_{2i}} \right]_{\theta_0, l_0} = \\
&= \frac{4}{N_0^2} \int \int_{-\infty}^{\infty} \left[f^2(t_1, l) \frac{\partial f(t_2, l)}{\partial t_2} \frac{\partial f(t_2, l)}{\partial l_i} + f(t_1, l) \times \right. \\
&\quad \left. \times f(t_2, l) \frac{\partial f(t_1, l)}{\partial t_1} \frac{\partial f(t_2, l)}{\partial l_i} \right]_{l_0} K^2(t_2 - t_1, \lambda_0) d t_1 d t_2, \tag{15}
\end{aligned}$$

$$\begin{aligned}
B_{\lambda \nu} &= - \frac{1}{N_1} \left[\frac{\partial^2 B(\theta_1, \theta_2, l_0, l_0, \lambda_1, \lambda_2)}{\partial \theta_1 \partial \lambda_{2\nu}} \right]_{\theta_0, \lambda_0} = \\
&= \frac{4}{N_0^2} \int \int_{-\infty}^{\infty} f^2(t_1, l_0) f(t_2, l_0) \frac{\partial f(t_2, l_0)}{\partial t_2} K(t_2 - t_1, \lambda_0) \times \\
&\quad \left[\times \frac{\partial K(t_2 - t_1, \lambda)}{\partial \lambda_\nu} \right]_{\lambda_0} d t_1 d t_2, \tag{16}
\end{aligned}$$

$$\mathbf{D} = \begin{vmatrix} \mathbf{D}_I & \mathbf{D}_0 \\ \mathbf{D}_0^+ & \mathbf{D}_\lambda \end{vmatrix}$$

— блочная матрица, элементы которой определяются выражениями

$$D_I = || D_{lij} ||, i, j = \overline{1, p}, \quad (17)$$

$$\begin{aligned} D_{lij} &= \frac{1}{N} \left[\frac{\partial^2 B(\theta_0, \theta_0, l_1, l_2, \lambda_0, \lambda_0)}{\partial l_{1i} \partial l_{2j}} \right]_{l_0} = \\ &= \frac{4}{N_0^2} \int \int_{-\infty}^{\infty} \left[f^2(t_1, l) \frac{\partial f(t_2, l)}{\partial l_i} \frac{\partial f(t_2, l)}{\partial l_j} + \right. \\ &\quad \left. + f(t_1, l) f(t_2, l) \frac{\partial f(t_1, l)}{\partial l_i} \frac{\partial f(t_2, l)}{\partial l_j} \right]_{l_0} \times \\ &\quad \times K^2(t_2 - t_1, \lambda_0) d t_1 d t_2, \end{aligned} \quad (18)$$

$$\begin{aligned} D_0 &= || D_{0iv} ||, v = \overline{1, m}, \\ D_{0iv} &= \frac{1}{N} \left[\frac{\partial^2 B(\theta_0, \theta_0, l_1, l_2, \lambda_1, \lambda_2)}{\partial l_{1i} \partial \lambda_{2v}} \right]_{l_0, \lambda_0} = \\ &= \frac{4}{N_0^2} \int \int_{-\infty}^{\infty} f^2(t_1, l_0) f(t_2, l_0) K(t_2 - t_1, \lambda_0) \left[\frac{\partial f(t_2, l)}{\partial l_i} \times \right. \\ &\quad \left. \times \frac{\partial K(t_2 - t_1, \lambda)}{\partial \lambda_v} \right]_{l_0, \lambda_0} d t_1 d t_2, \\ D_\lambda &= || D_{\lambda v \alpha} ||, \alpha = \overline{1, m}, \end{aligned} \quad (19)$$

$$\begin{aligned} D_{\lambda v \alpha} &= \frac{1}{N} \left[\frac{\partial^2 B(\theta_0, \theta_0, l_0, l_0, \lambda_1, \lambda_2)}{\partial \lambda_{1v} \partial \lambda_{2\alpha}} \right]_{\lambda_0} = \\ &= \frac{2}{N_0^2} \int \int_{-\infty}^{\infty} f^2(t_1, l_0) f^2(t_2, l_0) \left[\frac{\partial K(t_2 - t_1, \lambda)}{\partial \lambda_v} \times \right. \\ &\quad \left. \times \frac{\partial K(t_2 - t_1, \lambda)}{\partial \lambda_\alpha} \right]_{\lambda_0} d t_1 d t_2. \end{aligned}$$

Параметры l и λ последовательности (1) являются неинформативными, поэтому нет необходимости определять все элементы корреляционной

матрицы (13). Достаточно найти элемент, расположенный на пересечении первой строки и первого столбца этой матрицы, равный дисперсии σ^2 ОМП (8) периода следования. Используя формулу Фробениуса [6], для дисперсии ОМП (8) периода следования импульсов (1) получаем

$$\sigma^2 = (N_2 A - N_1^2 B D^{-1} B^+ / N)^{-1}. \quad (20)$$

Рассмотрим влияние наличия неинформативных параметров на точность оценки периода следования случайных импульсов. С этой целью найдем дисперсию ОМП периода следования при отсутствии неинформативных параметров

$$\sigma_0^2 = 1 / N_2 A = 6 / A N (N - 1) (2N - 1). \quad (21)$$

Учитывая (21), перепишем (20) в виде

$$\sigma^2 = \sigma_0^2 / [1 - 3(N - 1)\rho / 2(2N - 1)], \quad (22)$$

где

$$\rho = B D^{-1} B^+ / A. \quad (23)$$

Согласно (22) проигрыш в точности оценки периода следования случайных импульсов из-за наличия неинформативных параметров можно охарактеризовать отношением

$$\chi = \sigma^2 / \sigma_0^2 = [1 - 3(N - 1)\rho / 2(2N - 1)]^{-1} \geq 1. \quad (24)$$

Таким образом, наличие у последовательности случайных сигналов (1) неинформативных параметров приводит в общем случае к снижению точности оценки периода следования.

В качестве простого примера рассмотрим случай, когда корреляционная функция процесса $\zeta(t)$ в (1) не содержит неизвестных параметров, а модулирующая функция содержит один неизвестный параметр. Положим, что неизвестно время прихода последовательности (1), так что

$$f(t, l) = f(t - l). \quad (25)$$

Тогда, как следует из (14)...(17), $B_{l_1} = A$, $D_{l_1 l_1} = A$ и $\rho = 1$, а выражение для проигрыша в точности оценки (24) перепишется как

$$\chi = 2(2N - 1) / (N + 1). \quad (26)$$

Последняя формула показывает, что проигрыши в точности оценки периода следования случайных импульсов из-за незнания времени прихода последовательности возрастают с увеличением числа импульсов в после-

довательности от минимального значения $\chi = 2$ при $N = 2$ до максимального $\chi = 4$ при $N \rightarrow \infty$.

Полученное выражение (20) для дисперсии ОМП (8) периода следования существенно упрощается, если время корреляции процесса $\zeta(t)$ много меньше длительности модулирующей функции $f(t, l)$, так что

$$\Omega_0 \tau_0 / 2\pi \gg 1, \quad (27)$$

где $\tau_0 = \int_{-\infty}^{\infty} f^2(t, l_0) dt$ — эквивалентная длительность модулирующей функции. При выполнении (27), выражение для отношения сигнал—шум (14) принимает вид $z^2 = N \Omega_0 q^2 \int_{-\infty}^{\infty} f^4(t, l_0) dt / 16\pi$. Соответственно выражения для матричных элементов (16)...(21) перепишутся как

$$A = \frac{2 \Omega_0 q^2}{\pi} \int_{-\infty}^{\infty} f^2(t, l_0) \left[\frac{\partial f(t, l_0)}{\partial t} \right]^2 dt, \quad (28)$$

$$B_{li} = \frac{2 \Omega_0 q^2}{\pi} \int_{-\infty}^{\infty} f^2(t, l_0) \left[\frac{\partial f(t, l)}{\partial t} \frac{\partial f(t, l_i)}{\partial l_i} \right]_{l_0} dt, \quad i = \overline{1, p}, \quad (29)$$

$$B_{\lambda \nu} = 0, \quad \nu = \overline{1, m}. \quad (30)$$

$$D_{lij} = \frac{2 \Omega_0 q^2}{\pi} \int_{-\infty}^{\infty} f^2(t, l_0) \left[\frac{\partial f(t, l)}{\partial l_i} \frac{\partial f(t, l_j)}{\partial l_j} \right]_{l_0} dt, \quad j = \overline{1, p}, \quad (31)$$

$$D_{0i\nu} = \frac{2}{\pi N_0^2} \int_{-\infty}^{\infty} G(\omega, \lambda_0) \left[\frac{\partial G(\omega, \lambda)}{\partial \lambda_\nu} \right]_{\lambda_0} d\omega \int_{-\infty}^{\infty} f^3(t, l_0) \left[\frac{\partial f(t, l)}{\partial l_i} \right]_{l_0} dt, \quad (32)$$

$$D_{\lambda \nu \alpha} = \frac{1}{\pi N_0^2} \int_{-\infty}^{\infty} \left[\frac{\partial G(\omega, \lambda)}{\partial \lambda_\nu} \frac{\partial G(\omega, \lambda)}{\partial \lambda_\alpha} \right]_{\lambda_0} d\omega \int_{-\infty}^{\infty} f^4(t, l_0) dt, \quad \alpha = \overline{1, m}. \quad (33)$$

Сопоставление (14)...(19) и (28)...(33) показывает, что выполнение условия (27) позволяет избежать вычисления двойных интегралов при расчете дисперсии ОМП (20). Кроме того, согласно (30), все компоненты вектора-строки B_λ (15) равны нулю. Это позволяет несколько упростить выра-

жение (23). Действительно, опять используя формулу Фробениуса [6], получаем

$$\rho = B_l [D_l - D_0 D_\lambda^{-1} D_0^+]^{-1} B_l^+ / A. \quad (34)$$

Расчеты по этой формуле можно выполнить гораздо проще, чем по общей формуле (23). Действительно, расчет по (23) требует обращение матрицы D размером $(m + p) \times (m + p)$. Если же выполняется условие (27), то при расчете по формуле (34) необходимо последовательно обращать матрицу D_λ размером $m \times m$ и матрицу $[D_l - D_0 D_\lambda^{-1} D_0^+]$ размером $p \times p$, что существенно облегчает вычисления.

Положим далее, что модулирующая функция в (1) содержит один неизвестный параметр ($p = 1$), а корреляционная функция процесса $\zeta(t)$ содержит m произвольных неизвестных параметров. Пусть неизвестным параметром модулирующей функции является время прихода (25). Тогда, как следует из (28), (29), (31) $B_{l1} = D_{l11} = A$. Кроме того, согласно (32) $D_{01\nu} = 0$ для всех $\nu = \overline{1, m}$. В результате из (34) получаем, что $\rho = 1$. Следовательно, проигрыш в точности оценки периода следования из-за незнания времени прихода последовательности и m параметров λ корреляционной функции процесса $\zeta(t)$ описывается выражением (26). Поэтому, если выполняется (27) и неизвестно время прихода последовательности (1), то ОМП периода следования инвариантна к наличию неинформативных параметров корреляционной функции процесса $\zeta(t)$ в (1).

Приведенные результаты получены при выполнении гранта по фундаментальным исследованиям в области автоматики, информатики и связи.

БИБЛИОГРАФИЧЕСКИЙ СПИСОК

1. Ван Трис Г. Теория обнаружения оценок и модуляции. Т. 3 / Пер. с англ. Под ред. проф. В. Т. Горянинова.— М. : Сов. радио, 1977.— 664 с.
2. Кремер И. Я., Владимиров В. И., Карпухин В. И. Модулирующие помехи и прием радиосигналов / Под. ред. И. Я. Кремера.— М. : Сов. радио, 1972.— 480 с.
3. Зюко А. Г., Коробов Ю. Ф. Теория передачи сигналов.— М. : Связь, 1972.— 282 с.
4. Евтухов А. И., Митъко В. Б. Инженерные расчеты в гидроакустике.— Л. : Судостроение, 1988.— 288 с.
5. Куликов Е. И., Трифонов А. П. Оценка параметров сигналов на фоне помех.— М. : Сов. радио, 1978.— 296 с.
6. Гантмахер Ф. Р. Теория матриц.— М. : Наука, 1968.— 576 с.

Воронежский государственный университет.

Поступила в редакцию 01.08.96.